

## سینتیک تغییرات محتوای اسید اسکوربیک، محتوای فنول کل و ظرفیت ضداسایشی آب نارنج طی فرآوری حرارتی

سارا آقاجانزاده سورکی<sup>۱\*</sup>، امان محمد ضیائی فر<sup>۲</sup>، مهدی کاشانی نژاد<sup>۳</sup>، یحیی مقصودلو<sup>۴</sup>،  
ابراهیم اسماعیل زاده<sup>۵</sup>

۱- دانشجوی کارشناسی ارشد علوم و صنایع غذایی، دانشگاه علوم کشاورزی و منابع طبیعی گرگان

۲- استادیار دانشکده صنایع غذایی، دانشگاه علوم کشاورزی و منابع طبیعی گرگان

۳- دانشیار دانشکده صنایع غذایی، دانشگاه علوم کشاورزی و منابع طبیعی گرگان

۴- دانشیار دانشکده صنایع غذایی، دانشگاه علوم کشاورزی و منابع طبیعی گرگان

۵- دکتری تخصصی، گروه مکانیک ماشین‌های کشاورزی، دانشگاه علوم کشاورزی و منابع طبیعی گرگان

(تاریخ دریافت: ۹۳/۱/۶ تاریخ پذیرش: ۹۳/۹/۲۶)

### چکیده

نارنج یکی از انواع مرکبات با محتوای ضداسایشی بالا (عمدتاً اسید اسکوربیک و ترکیبات فنولی) است که از عصاره‌ی آن به عنوان چاشنی در تهیه‌ی غذاها استفاده می‌شود. یکی از مرسوم‌ترین روش‌های سالم‌سازی آب نارنج، پاستوریزاسیون حرارتی است. با توجه به حساسیت بالای ترکیبات ضداسایشی نسبت به حرارت، هدف از این تحقیق بررسی سینتیک تخریب حرارتی اسید اسکوربیک، محتوای فنول کل و ظرفیت ضداسایشی آب نارنج در دماهای ۷۰، ۷۵، ۸۰، ۸۵ و ۹۰ درجه‌سانتی‌گراد به ترتیب به مدت ۷۶، ۶۶، ۴۸، ۳۵ و ۲۱ دقیقه است. محتوای اسید اسکوربیک و فنول کل به ترتیب به روش‌های یدومتری و فولین سیوکالته اندازه‌گیری شدند. تغییرات محتوای اسید اسکوربیک و فنول کل آب نارنج طی فراوری حرارتی با استفاده از دو مدل آرنیوس و آیرینگ مورد ارزیابی قرار گرفت. اندیس مقاومت حرارتی (۱۵/۱۵ درجه‌سانتی‌گراد) و انرژی آزاد گیس (۱۰۱/۱۱ تا ۱۰۲/۶۴ کیلوژول بر مول) بالای اسید اسکوربیک عامل تغییرات ناچیز انتالپی این ویتامین طی فراوری حرارتی است. نتایج نشان داد که به ازای هر ۵ درجه‌سانتی‌گراد افزایش دمای فرایند، نیمه عمر تخریب اسید اسکوربیک و محتوای فنول کل نمونه به ترتیب، حدود ۱/۳۱ تا ۱/۸۰ و ۱/۳۹ تا ۲/۰۵ برابر کاهش یافت. همچنین در این بررسی همبستگی قابل قبولی میان محتوای فنول کل و DPPH آب نارنج ( $R^2 > 0.97$ ) مشاهده شد.

**کلید واژگان:** آب نارنج، اسید اسکوربیک، ظرفیت ضداسایشی، فرایند حرارتی، فنول کل

\*مسئول مکاتبات: saraaghajanzadeh@yahoo.com

## ۱- مقدمه

(۱۹۹۷) نیز در بررسی در زمینه‌ی ترکیبات ضداکسایشی محصولات مختلف از جمله پرتقال به نقش مهم ترکیبات پلی-فنولی در فعالیت ضداکسایشی این محصول اشاره کردند [۹]. عرب شاهی و عروج (۲۰۰۷) و گاردنر و همکاران (۲۰۰۰) همبستگی بالایی میان محتوای فنول کل و ظرفیت ضداکسایشی بر اساس میزان مهار رادیکال‌های آزاد DPPH عصاره‌ی میوه‌های مختلف به دست آورند [۱۰ و ۱۱].

یکی از مرسوم‌ترین روش‌های مورد استفاده در فراوری آب مرکبات، استفاده از تیمار حرارتی است. فرایند پاستوریزاسیون حرارتی که با هدف افزایش مدت زمان ماندگاری و سالم‌سازی محصول انجام می‌گیرد، دارای اثرات منفی بر ویژگی‌های حسی و تغذیه‌ای محصول از جمله تخریب ترکیبات ضداکسایشی نیز می‌باشد، چرا که ترکیبات ضداکسایشی به عوامل مختلف از جمله اکسیژن، نور، حرارت، نوع و شرایط فرایند محصول حساس بوده و به سرعت تخریب می‌شوند [۱۲-۱۴]. بوردورلو و همکاران (۲۰۰۶) و ویکرام و همکاران (۲۰۰۵) بیان نمودند که تغییرات محتوای اسید اسکوربیک طی زمان حرارت دهی از سیستیک درجه اول پیروی کرد [۱۵ و ۱۶]. همچنین ویکرام و همکاران (۲۰۰۵) اندیس مقاومت حرارتی، میزان انتالپی و انتروپی تخریب حرارتی اسید اسکوربیک آب پرتقال را (بر اساس مدل‌های آرنیوس و ایرینگ) اندازه‌گیری کردند [۱۶]. هونگ و همکاران (۲۰۰۴) و ایگوال و همکاران (۲۰۱۰) بیان کردند که با افزایش دما و افزایش نرخ تخریب ترکیبات فنولی، ظرفیت آنتی‌اکسیدانی محصول نیز کاهش می‌باید [۱۷ و ۱۸]. با توجه به این که تاکنون مطالعه‌ای پیرامون تغییرات محتوای ترکیبات ضداکسایشی آب نارنج طی فراوری حرارتی انجام نگرفته است، هدف از این تحقیق بررسی سیستیک تخریب اسید اسکوربیک، محتوای فنولی و ظرفیت ضداکسایشی بر اساس تعیین میزان مهار رادیکال‌های آزاد DPPH آب نارنج طی فراوری حرارتی در بن ماری در دمایا و زمان‌های مختلف است.

میوه‌ها و سبزیجات حاوی بسیاری از ترکیبات مغذی مورد نیاز بدن انسان می‌باشند. به دلیل محتوای رطوبتی و ارزش غذایی بالای این دسته از محصولات، پس از برداشت احتمال فساد آن‌ها بر اثر رشد و فعالیت میکروارگانیسم‌ها وجود دارد. از طرفی به دلیل فصلی بودن اغلب این محصولات و همچنین امکان رویش آن‌ها در برخی از مناطق جهان تحت شرایط آب و هوایی خاص، فراوری و تولید محصولات مختلف و متنوع از میوه‌ها و سبزیجات حائز اهمیت می‌باشد. نارنج (نام علمی: *Citrus aurantium* L.) یکی از انواع مرکبات است که در نواحی شمالی ایران کشت می‌شود. قسمت‌های مختلف نارنج مانند عصاره، پوست و بافت میوه مورد استفاده قرار می‌گیرد. اما با توجه به طعم ترش و تلخ بافت میوه، اغلب از عصاره‌ی نارنج به عنوان جایگزین آب لیمو در تهیه غذا استفاده می‌شود [۱].

ترکیبات ضداکسایشی<sup>۱</sup> با از بین بردن رادیکال‌های آزاد و اکسیژن فعال، موجب کاهش خطر ابتلا به انواع سلطان‌ها و گرفتگی عروق قلبی می‌شوند [۲]. مرکبات یکی از مهم‌ترین منابع تامین کننده‌ی ترکیبات مغذی از جمله ترکیبات ضداکسایشی (اسید اسکوربیک<sup>۲</sup>، فلاونوئیدها<sup>۳</sup> و ترکیبات فنولی<sup>۴</sup>) به شمار می‌روند و از این‌رو جایگاه ویژه‌ای در رژیم غذایی مردم جهان دارند [۳ و ۴]. اسید اسکوربیک از جمله ترکیبات ضداکسایشی است که از طریق واکنش با اکسیژن و تولید دهیدرواسکوربیک اسید قادر به ایجاد سیستم اکسایش- کاهش جهت تخریب رادیکال‌های آزاد است [۵]. به دلیل عدم فعالیت آنزیم تولیدکننده‌ی این ویتامین (L-Gulonolactone Oxidase [EC 1.1.3.8.]) در بدن انسان، نیاز به تامین اسید اسکوربیک از طریق رژیم غذایی مناسب است [۶]. محتوای فنولی موجود در آب مرکبات نیز نشان‌گر کیفیت محصول می‌باشد چرا که بر ارزش غذایی و همچنین خواص ظاهری مانند رنگ و طعم محصول اثرگذار است [۷]. گورینسین و همکاران (۲۰۰۴) دریافتند که میزان ترکیبات فنولی موجود در آب پرتقال با ظرفیت ضداکسایشی بر اساس میزان مهار رایکال‌های آزاد (DPPH) ارتباط مستقیم دارد [۸]. میلر و رایس - اوанс

1. Antioxidant
2. Ascorbic Acid
3. Flavonoid
4. Phenolic Compounds

حمام آب یخ تا رسیدن به دما محیط (۲۵ درجه سانتی گراد)، ترکیبات ضداکسایشی مورد نظر اندازه گیری شدند.

### ۳-۲- اندازه گیری اسید اسکوربیک

در این بررسی جهت اندازه گیری میزان اسید اسکوربیک از روش تیتراسیون ید (یدومتری) استفاده شد [۲۰]. در این روش ابتدا ۲۰ میلی لیتر آب نارنج را به یک بالن حجمی ۲۵۰ میلی لیتری منتقل و با ۱۵۰ میلی لیتر آب مقطر مخلوط شد. پس از افزودن یک میلی لیتر محلول شاخص نشاسته ۱٪، محلول حاصل با محلول ید تا ظهور رنگ آبی سیاه تیتر شد. میزان میلی گرم اسید اسکوربیک در ۱۰۰ میلی لیتر نمونه بر اساس معادله (۱) محاسبه شد:

معادله ۱.

$\text{حجم معرف مصرفی} = \frac{\text{میزان اسید اسکوربیک}}{(\text{mg}/100\text{ml})}$

جهت آماده سازی محلول ید ابتدا ۵ گرم پتاویم یدید و ۰/۲۶۸ گرم پتاویم یدات را در بالن ۵۰۰ میلی لیتری با ۲۰۰ میلی لیتر آب مقطر به خوبی حل شد و سپس به محلول حاصل ۳۰ میلی لیتر اسید سولفوریک ۳ مولار افزوده و با آب مقطر به حجم ۵۰۰ میلی لیتر رسانده شد.

### ۴- اندازه گیری محتوای فنول کل

میزان فنول کل بر اساس روش فولین - سیوکالت<sup>۵</sup> با اندکی اصلاح انجام شد [۲۱ و ۲۲]. طبق این روش ۲۰ میکرو لیتر آب نارنج سانتریفیوژ شده (۳۵۰۰ rpm به مدت ۱۵ دقیقه) با ۱/۱۶ میلی لیتر آب مقطر به خوبی مخلوط و سپس ۱۰۰ میکرو لیتر معرف فولین خالص به آن اضافه شد. پس از گذشت مدت زمان ۵ دقیقه، به محلول تهیه شده ۳۰۰ میکرو لیتر محلول سدیم کربنات ۲۰٪ افزوده شد. محلول حاصل را به مدت ۳۰ دقیقه در بن ماری با دمای ۴۰ درجه سانتی گراد حرارت داده و سپس جذب آن را در دستگاه اسپکتروفوتومتر (T-80, UV/VIS Double Beam Spectrophotometer) در طول موج ۷۶۰ نانومتر خوانده شد. میزان فنول کل از روی منحنی استاندارد بر حسب غلظت اسید تانیک (میلی گرم در لیتر) بیان شد.

### ۵- میزان مهار رادیکال های آزاد

ظرفیت ضداکسایشی آب نارنج بر اساس خاصیت خشی کنندگی رادیکال های آزاد ۲ و ۲- دیفنیل ۱- پیکریل هیدرازیل (DPPH)

8. Folin- Ciocalteu

## ۲- مواد و روش ها

### ۲-۱- تهیه و آماده سازی آب نارنج

narنج از بازار محلی شهرستان گرگان (استان گلستان) خریداری شد. کلیه نارنج ها تا زمان عصاره گیری در مکانی خنک (دما ۲۵°C) نگهداری شدند. پس از شست و شو و نصف کردن میوه ها، عمل عصاره گیری با آب میوه گیری دستی در شرایط یکسان برای تمامی نمونه ها (دما محیط و فشار اعمال شده بر میوه) انجام شد. به منظور جداسازی ذرات معلق پالپ و اجزای بافت، عصاره ی میوه از الک با مشن ۱۷۰ عبور داده و سپس نمونه ها بالا فاصله حرارت دهنده شدند.

### ۲-۲- فرایند حرارتی

در این بررسی به منظور افزایش سطح تبادل حرارت و همچنین حرارت دهنده یکنواخت تر و سریع تر محصول از لوله های آزمایش ( قطر، طول و ضخامت دیواره به ترتیب برابر ۱۵، ۱۶۰ و ۱ میلی متر) استفاده شد. ۱۵ میلی لیتر آب نارنج صاف شده به یک لوله آزمایش منتقل و در بن ماری در دماهای ۷۰، ۷۵، ۸۰، ۸۵ و ۹۰ درجه سانتی گراد به ترتیب به مدت ۲۱، ۳۵، ۴۸، ۶۶، ۷۶ دقیقه حرارت داده شد. آنریم پکتین متیل استراز<sup>۶</sup> به دلیل مقاومت حرارتی بالا و نیز تاثیر منفی بر حالت ابری مطلوب آب مرکبات به عنوان شاخص پاستوریزسیون این دسته از محصولات در نظر گرفته می شود [۱۹]. با توجه به این که بخشی از مرحله ای افزایش دمای محصول<sup>۷</sup> موجب غیرفعال سازی آنریم پکتین متیل استراز آب مرکبات می شود [۱۹]؛ تعیین زمان دقیق فرایند در هر یک از دماهای ۷۰، ۷۵، ۸۰ و ۸۵ درجه سانتی گراد با در نظر گرفتن میزان اثر این مرحله و کم کردن آن از زمان مرحله نگهداشتن در دمای ثابت<sup>۷</sup> تخمین زده شد. اندازه گیری دمای نمونه با قرار دادن ترمومتر نوع T با ضخامت یک میلی متر در نقطه سرد لوله آزمایش حاوی نمونه (حدود یک سوم انتهایی لوله آزمایش) و ثبت دمای نمونه در هر ثانیه توسط سیستم ثبت کننده داده های دمایی (Data logger: Pico - TC-08) انجام گرفت. بالا فاصله پس از فرایند حرارتی و به دنبال آن خنک کردن سریع نمونه ها در

5. Pectin Methyl esterase

6. Come Up Time

7. Holding Time

تغییرات زمان کاهش اعشاری در دماهای مختلف بیان گر مقاومت حرارتی<sup>۱۱</sup> ترکیب مورد نظر می‌باشد. مقاومت حرارتی عبارت از میزان افزایش درجه حرارت لازم جهت کاهش یک سیکل لگاریتمی در زمان کاهش اعشاری و یا کاهش به میزان یک سیکل لگاریتمی در منحنی زمان غیرفعالسازی حرارتی ترکیب شیمیایی مورد نظر است. میزان اندیس مقاومت حرارتی ترکیب با استفاده از معادله (۶) به دست می‌آید:

معادله ۶.

$$Z = (T_2 - T_1) / (\log D_1 - \log D_2)$$

در معادله فوق  $T_2$  و  $T_1$  به ترتیب دماهای متناسب با  $D_2$  و  $D_1$  می‌باشند. میزان اندیس مقاومت حرارتی نیز برابر قرینه و معکوس شبیه رگرسیونی منحنی زمان کاهش اعشاری در برابر دما است. در این تحقیق از دو مدل آرنیوس<sup>۱۲</sup> و آیرینگ<sup>۱۳</sup> جهت بررسی اثر فرایند حرارتی بر تخریب اسید اسکوربیک آب نارنج استفاده شد [۲۴ و ۲۵]. طبق مدل آرنیوس انرژی فعالسازی واکنش ( $\Delta E$ ) برابر عکس و قرینه شبیه رگرسیونی نمودار ثابت سرعت واکنش در برابر دما می‌باشد که میزان آن نشان‌دهنده وابستگی دمایی ثابت سرعت غیرفعالسازی ترکیب شیمیایی است (معادله ۷):

معادله ۷.

$$K = K_0 e^{-E_a/(RT)}$$

در معادله فوق  $E_a$  انرژی فعالسازی ( $J \cdot mole^{-1}$ ),  $K_0$  ثابت آرنیوس یا ضریب تصادم ( $min^{-1}$ ),  $R$  ثابت جهانی گازها ( $J \cdot mole^{-1} K^{-1}$ ) و  $T$  دمای مطلق (K) است. میزان انتالپی ( $\Delta H$ ), انتروپی ( $\Delta S$ ) و انرژی آزاد گیبس ( $\Delta G$ ) بر اساس مدل آیرینگ بیان می‌گردد. میزان انتالپی ( $\Delta H$ )  $J \cdot mole^{-1}$  در هر دما با استفاده از معادله (۸) محاسبه می‌شود:

معادله ۸.

$$\Delta H = \Delta E - RT$$

در معادله فوق  $\Delta E$  انرژی فعالسازی ( $J \cdot mole^{-1}$ ),  $R$  ثابت جهانی گازها ( $J \cdot mole^{-1} K^{-1}$ ) و  $T$  دمای مطلق (کلوین) است. انرژی آزاد گیبس ( $\Delta G$ )  $J \cdot mole^{-1}$  جهت غیرفعالسازی ترکیبات شیمیایی در دماهای مختلف بر اساس معادله اول (۹) به دست می‌آید:

(۹)

با روش ارائه شده توسط رمدان و همکاران (۲۰۰۸) با اندکی اصلاح انجام گرفت [۲۳]. در این روش یک میلی‌لیتر آب نارنج سانتریفیوژ شده (۳۵۰۰ rpm به مدت ۱۵ دقیقه) با ۵ میلی‌لیتر محلول متانولی ۰/۰۶ میلی‌مولار DPPH به خوبی مخلوط شد و پس از قرار دادن محلول حاصل به مدت ۲ ساعت در مکانی تاریک با دمای محیط جذب آن در دستگاه اسپکتروفوتومتر (UV/VIS Double Beam Spectrophotometer) در طول موج ۵۱۵ نانومتر قرائت شد. میزان بازدارندگی قدرت مهار رادیکال‌های آزاد طبق معادله (۲) محاسبه شد:

معادله ۲.

$$\%DPPH = [(A_0 - A_1) / A_0] \times 100$$

در رابطه فوق  $A_0$  میزان جذب شاهد DPPH و  $A_1$  برابر میزان جذب نمونه حاوی DPPH است.

## ۶-۲- آنالیز داده‌ها

تجزیهی حرارتی ترکیبات شیمیایی از معادله درجه اول لگاریتمی (۳) تبعیت می‌کند:

معادله ۳.

$$\log_e (A / A_0) = -Kt$$

در معادله فوق،  $A$  بیان گر غلظت ترکیب مورد نظر پس از فرایند حرارتی،  $A_0$  غلظت اولیهی ترکیب،  $t$  زمان حرارت دهی (min) و  $K$  ثابت سرعت واکنش ( $min^{-1}$ ) می‌باشد. میزان ثابت سرعت واکنش برابر قرینه شبیه رگرسیونی منحنی ( $A / A_0$ ) در  $\log_e (A / A_0)$  در برابر زمان است. بر اساس مقادیر ثابت سرعت واکنش به دست-آمده از معادله (۳) می‌توان نیمه عمر<sup>۹</sup> ترکیب شیمیایی را محاسبه نمود (معادله ۴):

معادله ۴.

$$t_{1/2} = -\ln (1/2) \cdot K^{-1}$$

زمان کاهش اعشاری<sup>۱۰</sup> عبارت است از مدت زمان لازم بر حسب دقیقه جهت کاهش ۹۰٪ فعالیت ترکیب مورد نظر در دمایی معین که با استفاده از معادله (۵) محاسبه می‌شود:

معادله ۵.

$$D = 2.303/K$$

11. Thermal Resistance (Z-value)

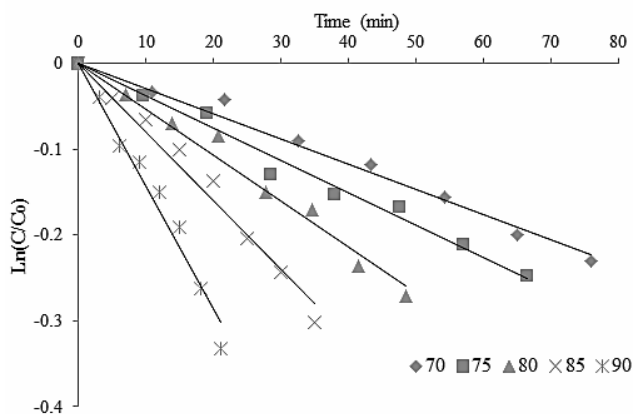
12. Arrhenius model

13. Eyring model

9. Half-Life

10. Thermal Decimal Time (D- value)

(R<sup>2>0.97</sup>) و پیروی از سیستمیک درجهی اول کاهش یافت [۲۶ و ۲۷]. آنالیز واریانس (ANOVA) و نیز مقایسه میانگین محتوی اسید اسکوربیک تیمارهای مختلف نشان داد که سطوح متفاوت دما و زمان حرارتدهی آب نارنج، تاثیر معناداری (P<0.05) در مقدار تخریب این ویتامین داشت.



شکل ۱ سیستمیک تخریب حرارتی اسید اسکوربیک طی فراوری حرارتی آب نارنج در دماهای ۷۰، ۷۵، ۸۰، ۸۵ و ۹۰ درجهسانانی گراد میزان ثابت سرعت واکنش تخریب اسید اسکوربیک آب نارنج طی فراوری حرارتی با توجه به شیب هر خط در شکل (۱) محاسبه شد (جدول ۱).

مشابه نتایج گزارش شده توسط بوردورلو و همکاران (۲۰۰۶)، ویکرام و همکاران (۲۰۰۵)، در این بررسی نیز با توجه به شیب هر خط در شکل (۱) می‌توان بیان نمود که با افزایش دما، سرعت تخریب اسید اسکوربیک افزایش یافت [۱۵ و ۱۶]. با استفاده از معادله (۴) نیمه عمر تخریب اسید اسکوربیک نمونهای فراوری شده در دماهای مختلف محاسبه و در جدول (۱) نشان داده شد. همان‌گونه که مشاهده می‌شود نیمه عمر تخریب اسید اسکوربیک نمونه به ازای هر ۵ درجهسانانی گراد افزایش دما حدود ۱/۳۱ تا ۱/۸۰ برابر کاهش یافت که این موضوع نشان‌دهندهی حساسیت حرارتی بالای اسید اسکوربیک نسبت به دمای فراوری می‌باشد.

معادله ۹

$$\Delta G = -RT \ln (Kh / k_b T)$$

در معادله (۹) K ثابت سرعت تجزیهی حرارتی ترکیب شیمیایی، h ثابت پلانک<sup>۱۴</sup> (J.s<sup>-۳</sup>) × ۱۰<sup>-۳۴</sup>، k<sub>b</sub> ثابت بولتزمن<sup>۱۵</sup> (J.K<sup>-۱</sup>) × ۱۰<sup>-۳۳</sup> و T دمای مطلق<sup>۱۶</sup> (K) است.

با استفاده از معادلات (۶) و (۷) میزان انتروپی ( $\Delta S$ ) در هر دما طبق معادله (۱۰) محاسبه می‌شود:

معادله ۱۰

$$\Delta S = (\Delta H - \Delta G) / T$$

## ۷-۲- تحلیل آماری

در این تحقیق اثر سطوح مختلف دما و زمان حرارتدهی بر محتوی ضداکسایشی (اسید اسکوربیک، فنول کل و DPPH) در قالب طرح فاکتوریل کاملاً تصادفی با استفاده نرم‌افزار SAS نسخه ۹.۱ در سه تکرار مورد بررسی قرار گرفت. میانگین‌ها به روش دانکن در سطح معناداری ۹۵ درصد مقایسه و به صورت Mean ± SD ارائه شدند. در این تحقیق، ارتباط میان میزان تغییرات ترکیبات ضداکسایشی مختلف در هر دما، نسبت به زمان فراوری با رگرسیون خطی و به وسیله‌ی نرم افزار Microsoft Excel 2010 تعیین شد.

## ۳- نتایج و بحث

### ۳-۱- سیستمیک تخریب حرارتی اسید اسکوربیک آب نارنج

در این بررسی میزان اسید اسکوربیک آب نارنج تازه برابر ۱/۳۳ ± ۲/۲۷ میلی‌گرم در هر ۱۰۰ میلی‌لیتر عصاره بود. با توجه به شکل (۱) محتوی اسید اسکوربیک نمونهای در دماها و زمان‌های مختلف، مشابه نتایج به دست آمده توسط اسیری و همکاران (۲۰۰۳) و ویکرام و همکاران (۲۰۰۵) با ضریب همبستگی بالا

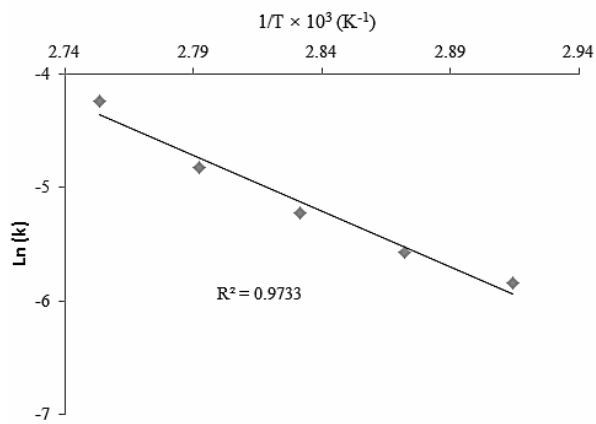
14. Planck constant

15. Boltzmann constant

16. Absolute Temperature

جدول ۱ نیمه عمر، ثابت سرعت واکنش و زمان کاهش اعشاری تخریب حرارتی اسید اسکوربیک آب نارنج

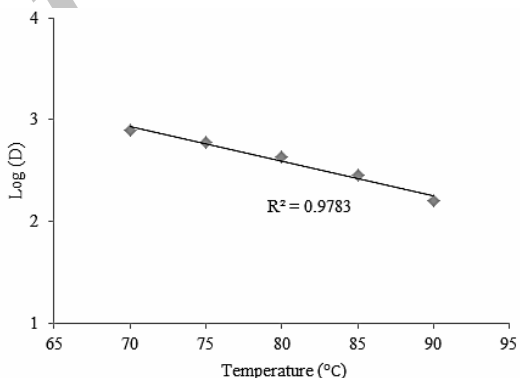
| دما (°C) | ثابت سرعت واکنش (min⁻¹) | ضریب همبستگی | زمان کاهش اعشاری (min) | نیمه عمر (h) |
|----------|-------------------------|--------------|------------------------|--------------|
| ۷۰       | $0.0029 \pm 0.0014$     | ۰/۹۸         | ۷۹۴/۱۲                 | ۳/۹۸         |
| ۷۵       | $0.0038 \pm 0.0002$     | ۰/۹۸         | ۶۰/۰۵                  | ۳/۰۴         |
| ۸۰       | $0.0054 \pm 0.00015$    | ۰/۹۷         | ۴۲۶/۴۸                 | ۲/۱۴         |
| ۸۵       | $0.008 \pm 0.0009$      | ۰/۹۷         | ۲۸۷/۸۷                 | ۱/۴۴         |
| ۹۰       | $0.0144 \pm 0.0001$     | ۰/۹۷         | ۱۵۹/۹۳                 | ۰/۸          |



شکل ۳ تغییرات ثابت سرعت غیرفعال‌سازی حرارتی اسید اسکوربیک آب نارنج نسبت به عکس دمای مطلق.

در جدول (۲) با توجه به معادلات ۸ و ۹ و میزان انتالپی، انتروپی و انرژی آزاد گیبس تخریب حرارتی اسید اسکوربیک ذکر شد. انتالپی ( $\Delta H$ ) برابر میزان انرژی ممانعت‌کننده‌ای است که باید توسط واکنش‌های مولکولی غلبه شود. انتروپی ( $\Delta S$ ) بیان‌گر تعداد مولکول‌های دارای میزان انرژی کافی جهت انجام واکنش و انرژی آزاد گیبس ( $\Delta G$ ) معیاری جهت تعیین امکان خود به خودی بودن یک واکنش است [۲۸]. در بررسی انجام گرفته توسط ویکرام و همکاران (۲۰۰۵)، مقاومت حرارتی، میزان انتالپی و انتروپی تخریب حرارتی اسید اسکوربیک آب پرتفاصل به ترتیب برابر ۲۴/۳۹ درجه سانتی‌گراد، ۳۷/۰۳، ۰/۱۶ کیلوژول بر مول محسوب شد [۱۶]. از دلایل اختلاف نتایج به دست آمده در این بررسی با نتایج گزارش شده توسط ویکرام و همکاران (۲۰۰۵) می‌توان به بالاتر بودن مقاومت حرارتی اسید اسکوربیک در آب نارنج، تفاوت در نوع محصول و شرایط آزمایش اشاره کرد.

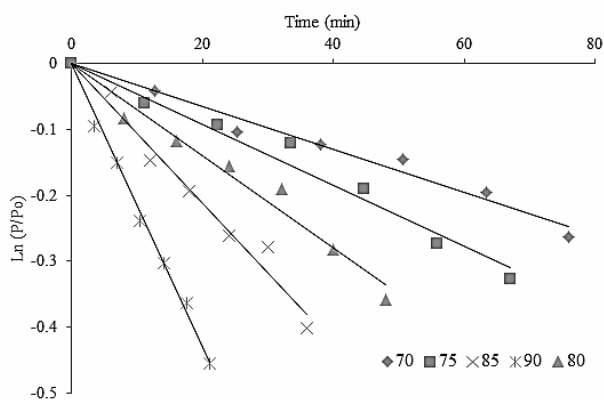
با توجه به میزان ثابت سرعت واکنش تخریب اسید اسکوربیک، زمان کاهش اعشاری این ویتامین در هر دما در جدول (۱) نشان داده شد. مطابق شکل (۲) با رسم منحنی نیمه‌لگاریتمی زمان‌های کاهش اعشاری به دست آمده در برابر دما، مقاومت حرارتی اسید اسکوربیک آب نارنج در این بررسی برابر ۲۹/۱۵ درجه‌سانتی‌گراد محاسبه شد که بالا بودن این شاخص به معنی مقاومت حرارتی قابل توجه این ویتامین نسبت به دما می‌باشد.



شکل ۲ منحنی مقاومت حرارتی اسید اسکوربیک آب نارنج انرژی فعال‌سازی میزان انرژی مورد نیاز جهت شروع یک واکنش است. لی و لاپوزا (۱۹۷۵) میزان انرژی فعال‌سازی جهت تخریب اسید اسکوربیک با استفاده از روش‌های مختلف را در محدوده بین ۷/۵۴ تا ۱۲۵/۶ کیلوژول بر مول به دست آوردهند [۲۷]. همچنین بوردورلو و همکاران (۲۰۰۶) میزان انرژی فعال‌سازی مرکبات مختلف را در دامنه بین ۱۲/۷۷ تا ۲۵/۳۹ کیلوژول بر مول گزارش کردهند [۱۵]. در این بررسی نیز میزان انرژی فعال‌سازی جهت شروع تخریب حرارتی این ویتامین در آب نارنج با توجه به شبی خط حاصل در شکل (۳) معادل  $81/62 \text{ kJ. mole}^{-1}$  محاسبه شد ( $R^2 > 0.97$ ).

جدول ۲ تغییرات میزان انتالپی، انتروپی و انرژی آزاد گیبس تخریب حرارتی اسید اسکوربیک آب نارنج

| دما (°C) | انتالپی (KJ.mole <sup>-1</sup> ) | انتروپی (KJ.mole <sup>-1</sup> K <sup>-1</sup> ) | انرژی آزاد گیبس (KJ.mole <sup>-1</sup> ) |
|----------|----------------------------------|--|--|
| ۷۰       | ۷۸/۷۷                            | ۱۰۱/۱۱   | -۰/۰۶۵                                   |
| ۷۵       | ۷۸/۷۳                            | ۱۰۱/۸۵   | -۰/۰۶۶                                   |
| ۸۰       | ۷۸/۶۹                            | ۱۰۲/۲۲   | -۰/۰۶۷                                   |
| ۸۵       | ۷۸/۶۴                            | ۱۰۲/۶۴   | -۰/۰۶۷                                   |
| ۹۰       | ۷۸/۶۰                            | ۱۰۲/۳۴   | -۰/۰۶۵                                   |



شکل ۴ پروفایل تخریب حرارتی ترکیبات فنولی طی فراوری حرارتی آب نارنج در دماهای ۷۰، ۷۵، ۸۰، ۸۵ و ۹۰ درجه‌سانتی‌گراد با توجه به شبیه هر خط در شکل (۴) ثابت سرعت واکنش کاهش محتوای فنول کل آب نارنج طی فراوری حرارتی در دماهای مختلف محاسبه شد (جدول ۳).

### ۲-۳- سینتیک تغییرات حرارتی محتوای فنول کل

#### آب نارنج

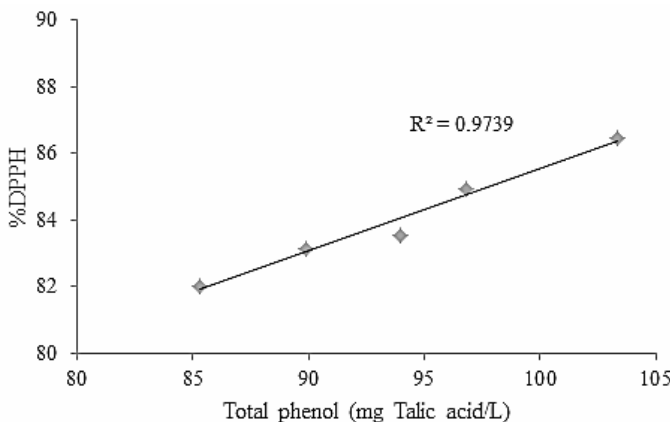
محتوای فنول کل آب نارنج تازه برابر  $۱۴۸/۲۱۴ \pm ۳/۲۷$  میلی‌گرم در لیتر عصاره بود. مشابه نتایج گزارش شده توسط ایگوال و همکاران (۲۰۱۰) با توجه به حساسیت حرارتی ترکیبات ضد اکسایشی، طی فراوری محتوای فنول کل نمونه کاهش یافت [۱۸]. در شکل (۴) روند تخریب حرارتی خطی ترکیبات فنولی آب نارنج طی فرایند حرارتی نشان داده شد ( $R^2 > ۰/۹۷$ ). مشابه تخریب حرارتی اسید اسکوربیک، آنالیز واریانس (ANOVA) و نیز مقایسه میانگین نشان داد که سطوح متفاوت دما و زمان حرارت‌دهی تاثیر معناداری در مقدار تخریب محتوای فنول کل داشت ( $P < ۰/۰۵$ ).

جدول ۳. ثابت سرعت واکنش تخریب فنول کل آب نارنج در دماهای ۷۰، ۷۵، ۸۰، ۸۵ و ۹۰ درجه‌سانتی‌گراد

| دما (°C) | ثابت سرعت واکنش (min <sup>-1</sup> ) | ضریب همبستگی | نیمه عمر (h) |
|----------|--------------------------------------|--------------|--------------|
| ۷۰       | $۰/۰۰۳۳ \pm ۰/۰۰۰۳۵$                 | ۰/۹۸         | ۳/۵۰         |
| ۷۵       | $۰/۰۰۴۶ \pm ۰/۰۰۰۵$                  | ۰/۹۷         | ۲/۵۱         |
| ۸۰       | $۰/۰۰۷ \pm ۰/۰۰۰۹$                   | ۰/۹۷         | ۱/۱۰         |
| ۸۵       | $۰/۰۱۰ \pm ۰/۰۰۰۲$                   | ۰/۹۷         | ۱/۰۹         |
| ۹۰       | $۰/۰۲۱۶ \pm ۰/۰۰۱$                   | ۰/۹۹         | ۰/۵۳         |

سانتی‌گراد افزایش دمای فراوری نیمه عمر تخریب محتوای فنولی کل در حدود  $۱/۳۹$  تا  $۲/۰۵$  برابر کاهش یافت که این موضوع نیز تاییدی بر حساسیت حرارتی بالای ترکیبات ضد اکسایشی می‌باشد.

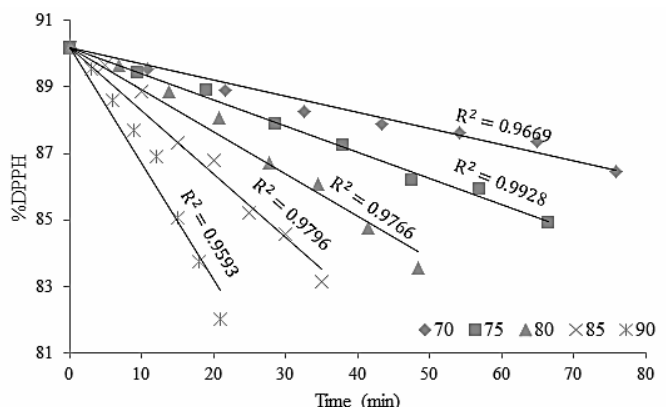
با توجه به ثابت سرعت واکنش به دست آمده می‌توان بیان نمود که با افزایش دما، محتوای فنول کل آب نارنج با سرعت بالاتری کاهش یافت. همچنین می‌توان بیان نمود که به ازای هر ۵ درجه



شکل ۶ ارتباط رگرسیونی میان محتوای فنول کل و ظرفیت ضداکسایشی آب نارنج پس از فراوری حرارتی

### ۳-۳- سیستیک تغییرات ظرفیت ضداکسایشی آب نارنج طی فراوری حرارتی

اساس روش اندازه‌گیری تغییرات ظرفیت ضداکسایشی، بی‌رنگ شدن محلول DPPH توسط ترکیبات ضداکسایشی موجود در آب نارنج است. از این‌رو با افزایش دما و افزایش نرخ تخریب ترکیبات فنولی آب نارنج، ظرفیت ضداکسایشی محصول نیز مطابق شکل (۵) به صورت خطی کاهش یافت ( $R^2 > 0.95$ ). این نتیجه مشابه نتایج به دست آمده توسط هونگ و همکاران (۲۰۰۴) و ایگوال و همکاران (۲۰۱۰) است [۱۷ و ۱۸]. سطوح مختلف دما و زمان طی حرارت‌دهی آب نارنج، تاثیر معناداری در مقدار تخریب این فاکتور داشت ( $P < 0.05$ ). از این‌رو، با افزایش دما و تخریب ترکیبات ضداکسایشی، مطابق شکل (۶) همبستگی بالایی میان محتوای فنولی محصول و میزان مهار رادیکال‌های آزاد مشاهده شد ( $R^2 > 0.97$ )، نتایج حاصل از تحقیقات انجام شده توسط طوب شاهی و عروج (۲۰۰۷) و گاردنر و همکاران (۲۰۰۰) تاییدی بر تاثیر بالای محتوای فنولی کل محصول بر میزان ظرفیت ضداکسایشی بر اساس میزان مهار رادیکال‌های آزاد DPPH است [۱۰ و ۱۱].



شکل ۵ پروفایل تخریب حرارتی ظرفیت ضداکسایشی طی فراوری حرارتی آب نارنج در دماهای ۷۰، ۷۵، ۸۰، ۸۵ و ۹۰ درجه‌سانتی‌گراد

است [۲۹].

## - ۵ - متابع

- and black currant drink. *Journal of Food Chemistry*. 60 (3), 331–337.
- [10] Arabshahi-Delouee, S. and Urooj, A. 2007. Antioxidant properties of various solvent extracts of mulberry (*Morus indica L.*) leaves. *Journal of Food Chemistry*, 102: 1233–1240.
- [11] Gardner, P. T., White, T. A. C., McPhail, D. B., Duthie, G. G. 2000. The relative contributions of vitamin C, carotenoids and phenolics to the antioxidant potential of fruit juices. *Journal of Food Chemistry*, 68, 471–474.
- [12] Polydera, A. C., Stoforos, N. G. and Taoukis, P. S. 2003. Comparative shelf life study and vitamin C loss kinetics in pasteurized and high pressure processed reconstituted orange juice. *Journal of Food Engineering*, 60 (1), 21–29.
- [13] Lima, M., Heskitt, B. F., Burianek, L. L., Nokes, S. E., and Sastry, S. K. 1999. Ascorbic acid degradation kinetics during conventional and ohmic heating. *Journal of Food Processing and Preservation*, 23(5), 421–434.
- [14] Manso, M. C., Oliveira, F. A. R., Oliveira, J. C., and Frias, J. M. 2001. Modeling ascorbic acid thermal degradation and browning in orange juice under aerobic conditions. *International Journal of Food Science and Technology*, 36, 303–312.
- [15] Burdulu, H. S., Koca, N. and Karadeniz, F. 2006 Degradation of vitamin C in citrus juice concentration during storage. *Journal of Food Engineering*, 74 (2), 211–216.
- [16] Vikram, V. B., Ramesh, M. N. and Prapulla, S. G. 2005. Thermal degradation kinetics of nutrients in orange juice heated by electromagnetic and conventional methods. *Journal of Food Engineering*, 69, 31–40.
- [17] Hong, Yun-jeong, Barrett, Diane M., Mitchell, Alyson E. 2004. Liquid chromatography/mass spectrometry investigation of the impact of thermal processing and storage on peach procyanidins. *Journal of Agricultural and Food Chemistry*, 52, 2366–2371.
- [18] Igual, M., Garcia-Martinez, E., Camacho, M. M. and Martinez-Navarrete, N. 2010. Effect of thermal treatment and storage on stability of organic acids and the functional value of grapefruit juice. *Journal of Food chemistry*, 118, 291–299.
- [1] He, X., Lian, L., Lin, L. and Bernart, M. 1997. High-performance liquid chromatography–electrospray mass spectrometry in phytochemical analysis of sour orange (*Citrus aurantium L.*). *Journal of Chromatography A*, 791, 127–134.
- [2] Di Majo, D., Giannanca, M., La Guardia, M., Tripoli, E., Giannanca, S. and Finotti, E. 2005. Flavanones in Citrus fruit: Structure-antioxidant activity relationships. *Food Research International*, 38, 1161–1166.
- [3] Fernandez-Lopez, J., Zhi, N., Aleson-Carbonell, L., PerezAlvarez, J. A. and Kuri, V. 2005. Antioxidant and antibacterial activities of natural extracts: application in beef meatballs. *American Meat Science*, 69 (3), 371–380.
- [4] Jayaprakasha, G. K. and Patil, B. S. 2007. In vitro evaluation of the antioxidant activities in fruit extracts from citron and blood orange. *Journal of Food Chemistry*, 101(1), 410–418.
- [5] Zulueta, A., Esteve, M. J., Frasquet, I. and Frigola, A. 2007. Vitamin C, vitamin A, Phenolic compounds and total antioxidant capacity of new fruit juice and skim milk mixture beverages marketed in Spain. *Journal of Food chemistry*, 103, 1365–1374.
- [6] Davey, M. W., Montagu, M. V., Inze, D., Sanmartin, M., Kanellis, A., Smirnoff, N., Benzie, I. J. J., Strain, J. J., Favell, D. and Fletcher, J. 2000. Review: plant L-ascorbic acid: chemistry, function, metabolism, bioavailability and effects of processing. *Journal of the Science of Food and Agriculture*, 80 (7), 825–860.
- [7] Yu, L. L., Zhou, K. K., and Parry, J. 2005. Antioxidant properties of cold-pressed black caraway, carrot, cranberry and hemp seed oils. *Journal of Food Chemistry*, 91, 723–729.
- [8] Gorinstein, S., Haruenkit, R., Park, Y. S., Jung, S. T., Zachwieja, Z., Jastrzebski, Z., Katrich, E., Trakhtenberg, S. and Belloso, O. M. 2004. Bioactive compounds and antioxidant potential in fresh and dried Jaffa sweeties, a new kind of citrus fruit. *Journal of the Science of Food and Agriculture*, 84 (12), 1459–1463.
- [9] Miller, N. J. and Rice-Evans, C. A. 1997. The relative contributions of ascorbic acid and phenolic antioxidants to the total antioxidants to the activity of orange and apple fruit juices

- [24] Eyring, H. 1935. The activated complex and the absolute rate of chemical reactions. *Chemical Reviews*, 17, 65-77.
- [25] Sensoy I., Zhang, Q. H. and Sastry, S. K. 1997. Inactivation kinetics of *Salmonella* Dublin by pulsed electric field. *Journal of Food Process Engineering*, 20(5), 367-381.
- [26] Assiry, A., Sastry, S. K. and Samaranayake, C. 2003. Degradation kinetics of ascorbic acid during ohmic heating with stainless steel electrodes. *Journal of Applied Electrochemistry*, 33, 187-196.
- [27] Lee, S. H., and Labuza, T. P. 1975. Destruction of ascorbic acid as function of water activity. *Journal of Food Science*, 40, 370-373.
- [28] Klavons, J. A., Bennett, R. D. and Vannier, S. H. 1991. Nature of the protein constituent of commercial orange juice cloud. *Journal of Agricultural and Food Chemistry*, 39, 1546–1548.
- [29] Kouadio, E. J. P., Konan, H. K., Dabonne, S., Due, E. A. Kouame, L. P. 2013. Study of thermal stability of  $\alpha$ - amylases sourced from digestive tract of the tropical house cricket *Gryllodes sigillatus* (orthoptera: gryllidae): kinetic and thermodynamic analysis. *Journal of Novel Applied Sciences*. 2 (3), 74-82.
- [19] Tajchakavit, S. & Ramaswamy, H.S. 1997. Thermal vs. Microwave inactivation kinetics of pectin methylesterase in orange juice under batch mode heating conditions. *Lwt - Food Science and Technology*, 30, 85-93.
- [20] Kashyap, G. and Gautam, M. D. 2012. Analysis of Vitamin C in Commercial and Naturals substances by Iodometric Titration found in Nimar and Malwaregeion. *Journal of Scientific Research in Pharmacy*. 1(2), 77-78.
- [21] Vasco, C., Ruales, J. and Kamal-Eldin, A. 2008. Total phenolic compounds and antioxidant capacities of major fruits from Ecuador. *Journal of Food Chemistry*, 111: 816–823.
- [22] National Standard of Iran, No. 8986-1, Green and black tea- determination of substances characteristic of green and black tea- Part 1: content of total polyphenols in tea- colorimetric method using Folin-Ciocalteu reagent, First Edition.
- [23] Ramadan-Hassanien, M. F. 2008. Total antioxidant potential of juices, beverages and hot drink consumed in Egypt screened by DPPH in vitro assay. *Grasas y Aceites*, 59 (3), 254-259.

## Degradation kinetics of ascorbic acid, total phenolic and antioxidant content of sour orange juice during thermal processing

Aghajanzadeh Suraki, S. <sup>1\*</sup>, Ziaifar, A. M. <sup>2</sup>, Kashaninejad, M. <sup>3</sup>, Maghsoudlou, Y. <sup>4</sup>, Esmailzadeh, E. <sup>5</sup>

1. Master degree student in Food Science and Technology. Department of Food Science and Technology, Gorgan University of Agricultural Sciences and Natural Resources
2. Assistant Professor in Food Engineering Department of Food Process Engineering, Gorgan University of Agricultural Sciences and Natural Resources
3. Associate Professor in Food Engineering Department of Food Process Engineering, Gorgan University of Agricultural Sciences and Natural Resources
4. Associate Professor in Food Science and Technology Department of Food Science and Technology, Gorgan University of Agricultural Sciences and Natural Resources
5. Ph.D in Biosystem Engineering, Gorgan University of Agricultural Sciences and Natural Resources

(Received: 93/1/6 Accepted: 93/9/26)

Sour orange is a citrus with high antioxidant content (mainly ascorbic acid and phenolic compound). Its juice is consumed as a food seasoning. Thermal pasteurization is a common way to improve safety of sour orange juice. By considering the high thermal sensitivity of ascorbic acid and phenolic compounds, the aim of this study is the investigation of the effect of thermal processing on ascorbic acid, total phenol and an antioxidant capacity of sour orange juice at 70, 75, 80, 85 and 90 °C in 76, 66, 48, 35 and 21 min, respectively. Ascorbic acid and total phenol content were measured according iodine titration and Folin-Ciocalteu methods, respectively. Ascorbic acid and total phenol degradation during thermal processing were evaluated by Arrhenius and Eyring models. Enthalpy of ascorbic acid degradation changed slightly due to its high thermal resistance (29.15°C) and free energy (101.11-102.64 kJ. mole<sup>-1</sup>). With 5°C increase in temperature, the half-life of ascorbic acid and the total phenol content decreased about 1.31 to 1.80 and 1.39 to 2.05 times, respectively. Also there was a good correlation between total phenol content and DPPH of sour orange juice ( $R^2 > 0.97$ ).

**Key Words:** Sour Orange Juice, Ascorbic Acid, Antioxidant Capacity, Thermal Processing, Total Phenol

\*Corresponding Author E-Mail Address:saraaghajanzadeh@yahoo.com